

doi:10.3969/j.issn.2095-1035.2024.12.003

# 多功能集成色谱-电感耦合等离子体质谱( ICP-MS) 法 快速测定饮用水中砷形态

姜健<sup>1</sup> 叶利萍<sup>2</sup> 王晓玮<sup>1</sup> 谢继安<sup>1</sup> 单晓梅<sup>1</sup> 陈曦<sup>3</sup>

(1. 安徽省疾病预防控制中心, 合肥 230601; 2. 上海凯来谱科技有限公司, 上海 201306;  
3. 中国疾病预防控制中心 环境与健康相关产品安全所, 北京 100050)

**摘要** 为准确快速测定饮用水中砷形态, 采用多功能集成色谱(prepFAST IC)与电感耦合等离子体质谱(ICP-MS)联用, 采用 ICX-As35 阴离子色谱柱为分析柱, 通过仪器注射器推动改变 1 mmol/L 碳酸铵( $\text{pH}=9.7$ )和 100 mmol/L 碳酸铵( $\text{pH}=9.2$ )洗脱液的混合比, 进行浓度梯度洗脱, 在 105 s 内快速分析出甜菜碱(AsB)、亚砷酸盐[As(Ⅲ)]、二甲基砷(DMA)、砷胆碱(AsC)、一甲基砷(MMA)和砷酸盐[As(V)]六种 As 的形态, 建立饮用水中六种砷(As)形态的多功能集成色谱串联 ICP-MS 分析方法。在 0~100  $\mu\text{g}/\text{L}$  六种 As 的形态线性关系良好, 相关系数均大于 0.999, 检出限为 0.02~0.03  $\mu\text{g}/\text{L}$ 。采用加标回收进行准确性评估, 纯水和未梢水低、中、高浓度样本的加标回收率为 89.2%~103%, 不同浓度砷形态的相对标准偏差(RSD)均优于 2.0%。方法灵敏度高、准确可靠、分析效率高, 适用于生活饮用水中砷形态的快速测定, 提高了工作效率。

**关键词** 多功能集成色谱; 电感耦合等离子体质谱; 快速测定; 砷形态; 生活饮用水

中图分类号: O657.63 R115 R123 文献标志码: A 文章编号: 2095-1035(2024)12-1617-07

## Rapid Determination of Arsenic Species in Drinking Water by Inductively Coupled Plasma Mass Spectrometry with Multifunctional Integrated Chromatography

JIANG Jian<sup>1</sup>, YE Liping<sup>2</sup>, WANG Xiaowei<sup>1</sup>, XIE Ji'an<sup>1</sup>, SHAN Xiaomei<sup>1</sup>, CHEN Xi<sup>3</sup>

(1. Anhui Provincial Center for Disease Control and Prevention, Hefei, Anhui 230601, China;

2. Shanghai Chemlab Pro Technology Co., Ltd., Shanghai 201306, China;

3. National Institute of Environmental Health, Chinese Center for Disease Control and Prevention, Beijing 100050, China)

**Abstract** In order to accurately and rapidly determine arsenic speciation in drinking water, a method of six arsenic species in drinking water by inductively coupled plasma mass spectrometry(ICP-MS) with multifunctional integrated chromatography was developed. The multifunctional integrated chromatography (prepFAST IC) was

收稿日期: 2024-03-06 修回日期: 2024-06-10

基金项目: 全国城市饮用水卫生监测项目(JCPJ01); 2018 年国家卫生健康委卫生标准制修订项目(20180901)

作者简介: 姜健, 男, 主管技师, 主要从事无机元素检测与分析研究。E-mail: 345776685@qq.com

\* 通信作者: 陈曦, 男, 研究员, 主要从事环境因素暴露评估与人群健康影响研究。E-mail: chenxi@nieh.chinacdc.cn

引用格式: 姜健, 叶利萍, 王晓玮, 等. 多功能集成色谱-电感耦合等离子体质谱( ICP-MS) 法快速测定饮用水中砷形态[J]. 中国无机分析化学, 2024, 14(12): 1617-1623.

JIANG Jian, YE Liping, WANG Xiaowei, et al. Rapid Determination of Arsenic Species in Drinking Water by Inductively Coupled Plasma Mass Spectrometry with Multifunctional Integrated Chromatography[J]. Chinese Journal of Inorganic Analytical Chemistry, 2024, 14(12): 1617-1623.

coupled with inductively coupled plasma mass spectrometry (ICP-MS), and the ICX-As35 anion chromatography column was used as the analytical column. The concentration gradient elution was performed by pushing the mixing ratio of 1 mmol/L ammonium carbonate ( $\text{pH}=9.7$ ) and 100 mmol/L ammonium carbonate ( $\text{pH}=9.2$ ) eluent through the syringe of the instrument to change the mixture ratio of the eluent. Six arsenic species, betaine (AsB), arsenite [As(Ⅲ)], dimethylarsenic (DMA), arsenicholine (AsC), monomethylarsenic (MMA) and arsenate [As(Ⅴ)], were analyzed within 105 s. The linearity of the six arsenic species was good in the range of 0—100  $\mu\text{g}/\text{L}$  with the correlation coefficients ( $r$ ) greater than 0.999, and the limits of detection (LODs) were 0.02—0.03  $\mu\text{g}/\text{L}$ . The relative standard deviations (RSD) of arsenic species in pure water and tap water were all no more than 2.0%. The recoveries of three different concentrations in pure water and tap water ranged from 89.2% to 103%. This method is accurate, reliable, sensitive, short analysis time, and suitable for the rapid determination of drinking water, improving the working efficiency.

**Keywords** multifunctional integrated chromatography; inductively coupled plasma mass spectrometry (ICP-MS); rapid determination; arsenic speciation; drinking water

砷在自然环境中上百种存在形式,常见的形态包括一甲基砷酸盐(MMA)、二甲基砷酸盐(DMA)、砷胆碱(AsC)、砷甜菜碱(AsB)、亚砷酸盐[As(Ⅲ)]和砷酸盐[As(Ⅴ)]<sup>[1]</sup>。它们广泛存在于自然水体、土壤、生物体中,部分砷的形态在一定浓度下存在毒性。人类通过饮水、食物等途径都能接触到砷,砷的污染可以通过食物链传递积累<sup>[2]</sup>,砷的暴露是一个全球性的公共健康问题<sup>[3]</sup>,有研究表明,长期接触某些形态的砷可能会导致心血管疾病、神经系统疾病、皮肤病变和癌症<sup>[4-10]</sup>。不同形态的砷表现出不同的毒性,无机砷毒性比有机化合物大,毒性一般随着甲基化程度的降低而增加<sup>[11]</sup>。常见砷形态毒性按从大到小顺序依次为 As(Ⅲ)>As(Ⅴ)>MMA>DMA>AsC>AsB<sup>[12]</sup>。赵芊瑜等<sup>[13]</sup>最新研究表明在哺乳动物中,AsB 经历了向 iAs 的生物转化,同时表明哺乳动物长期摄入 AsB 存在潜在的健康风险。国际癌症研究机构(IARC)认为无机砷[As(Ⅲ)和 As(Ⅴ)]是人类的致癌物,并且 As(Ⅲ)的毒性是 As(Ⅴ)毒性的 60 倍<sup>[14-15]</sup>。

砷形态的分析并鉴别出其中有毒形态对于饮水安全、人体健康至关重要。常见的分析方法中,HPLC-ICP-MS 具有灵敏度高、分析种类多、形态分离度好、电离效率高、基质干扰小、选择性高、动态范围宽等特点<sup>[16-17]</sup>,但其分离时间冗长,操作成本较高<sup>[18-21]</sup>,并且磷酸盐容易堆积在锥口,导致信号漂移<sup>[22-23]</sup>。本研究采用多功能集成色谱 prepFAST IC 进行分离,以碳酸铵为流动相,阴离子交换色谱柱分离水中六种砷形态,通过优化色谱条件,建立快速简单测定水中六种砷形态的方法。

## 1 实验部分

### 1.1 仪器、材料与试剂

多功能集成色谱 (prepFASTIC, Elemental Scientific Inc, 美国)、阴离子色谱柱 (ICX-As35, Elemental Scientific Inc., 美国), 电感耦合等离子体质谱仪 (Agilent 8900, 美国)、pH 电导多功能测量仪 (Mettler Toledo Seven Multi, 瑞士)、万分之一电子天平 (Mettler Toledo BS210S, 瑞士)、亲水性 PTFE 针式滤膜 (0.22  $\mu\text{m}$ , 上海安谱)。

碳酸铵 (ACS reagent,  $\geq 30.0\%$   $\text{NH}_3$  basis, Sigma-aldrich, 美国)、氢氧化钾 (优级纯, 国药试剂)、去离子水 (Milli-Q IQ7000, 默克, 美国), 标准物质: 亚砷酸根溶液 (GBW08666)、砷酸根溶液 (GBW08667)、一甲基砷溶液 (GBW08668)、二甲基砷溶液 (GBW08669)、砷甜菜碱溶液 (GBW08670)、砷胆碱溶液 (GBW08671), 均来源于中国计量科学研究院。

### 1.2 实验方法

#### 1.2.1 试剂准备

流动相: 分别称取 0.090 7 g 和 9.068 6 g 碳酸铵, 用去离子水溶解并转移至 1 000 mL 容量瓶中, 定容至刻度, 用 10% KOH 溶液调节 pH 值, 作为流动相 A 和 B。

标准溶液: 配制 100  $\mu\text{g}/\text{L}$  的六种砷形态混合标准溶液, 标准工作曲线由 prepFAST IC 按程序自动稀释 100  $\mu\text{g}/\text{L}$  的砷形态混标得到。

#### 1.2.2 样品采集与过滤

样品采集后用 0.22  $\mu\text{m}$  滤膜过滤后上机测定。

### 1.2.3 色谱条件

色谱柱为 ICX-As35( $\Phi 4\text{ mm} \times 50\text{ mm}$ ), 工作柱温为室温, 进样体积为 1 mL, 流动相 A 为 1 mmol/L 碳酸铵; 流动相 B 为 100 mmol/L 碳酸铵, 流动相流速为 1 000  $\mu\text{L}/\text{min}$ 。

### 1.2.4 电感耦合等离子体质谱条件

RF 功率 1 550 W、雾化器流量 1.05 L/min、RF 匹配 1.80 V、辅助气体流量 0.9 L/min、采样深度 10.0 mm、等离子体气体流量 15.0 L/min、雾化室温度 2 °C、氮气流量 4.5 mL/min、TRA 模式、监测分析物( $m/z$ )<sup>75</sup>As、停留时间 1 s。

## 2 结果与讨论

### 2.1 流动相 pH 值的优化

结合相关研究<sup>[24]</sup>与六种砷形态的结构特性, 选择碳酸铵溶液作为流动相能在特定阴离子交换树脂中充分分开 AsC, 并将整体分离速度保持在一个较快的水平。流动相的 pH 值直接影响不同砷形态在树脂上的价态, 从而改变其在树脂中的保留时间, 最终影响到的是不同形态的出峰顺序和分离度。因此准确地控制流动相的 pH 值尤为重要。不同砷形态的结构和 pKa 见表 1。

表 1 不同砷形态的结构和 pKa<sup>[21]</sup>

Table 1 Structure and pKa of different arsenic speciation<sup>[21]</sup>

Speciation	Structure	pKa	Speciation	Structure	pKa
AsB		$\text{pK}_{\text{a}} = 2.18$	AsC		
As(III)		$\text{pK}_{\text{a}_1} = 9.23$ $\text{pK}_{\text{a}_2} = 12.13$ $\text{pK}_{\text{a}_3} = 13.4$	MMA		$\text{pK}_{\text{a}_1} = 4.1$ $\text{pK}_{\text{a}_2} = 8.7$
DMA		$\text{pK}_{\text{a}} = 6.2$	As(V)		$\text{pK}_{\text{a}_1} = 2.19$ $\text{pK}_{\text{a}_2} = 6.98$ $\text{pK}_{\text{a}_3} = 11.53$

AsB 在碱性环境下电价为 0, 不被树脂保留; 三价砷的第一解离平衡常数  $\text{pK}_{\text{a}_1} = 9.23$ , 假设 pH 与  $\text{pK}_{\text{a}_1}$  相等, 即 pH=9.23 时, 带一个负电荷的三价砷与不带电荷的三价砷各占一半比例, 此时 DMA 带一个负电荷(其  $\text{pK}_{\text{a}} = 6.2$ )。因此根据与离子交换树脂的吸附难易程度, 三种形态碱性条件下的保留时间应为 AsB<As(III)<DMA。AsC 的结构中, 由于其碳链较长, 水合离子半径相对较大, 与树脂的亲和力更强, 但在碱性条件下羟基脱去氢离子只带一个负电荷。此时 AsC 与 As(III)、DMA 的价态均在 0~1, 在较快的推送速度下它们的保留时间十分相近, 容易造成无法分开的情况, 此时就需要精准控制 pH 值来优化其分离度。分别设置不同的流动相 pH 值(流动相 A, pH=9.4~9.8; 流动相 B, pH=9.2 不变)进行测试, 结果显示随着流动相 A 的 pH 值的降低, AsB 保留时间不变, As(III) 中带

负电荷的成分降低, 其保留时间缩短, 从而达到与 DMA 分开, 而当流动相 A 的 pH=9.7 时, AsC 与 As(III)、DMA 分离度最佳。因此, 我选择流动相 A 的 pH 值为 9.7, 流动相 B 的 pH 值为 9.2。

### 2.2 流动相浓度梯度优化

流动相通过阴离子竞争关系调解待测物吸附、脱附的难易程度, 改变流动相中阴离子浓度, 能够影响不同形态待测物之间的相对保留时间, 从而影响到分离度。prepFASTIC 中的两个不同浓度的流动相(流动相 A, 1 mmol/L; 流动相 B, 100 mmol/L)则是起到混合并改变流动相浓度的作用, 通过改变二者的推送速度比, 最终推送到树脂上的流动相浓度 1~100 mmol/L。实验结果表明, 随着流动相整体浓度(流动相 A 和流动相 B 同时)提高, 6 种砷形态的洗脱效率会明显提高, 出峰速度更快, 但当速度过快时, 几种形态峰无法分离, 此时单独改变流动相 A

或流动相 B 浓度(或者改变 prepFAST IC 程序中对应注射器推送速度比例),可以更好地实现部分峰分离度调整。例如,当 As(Ⅲ)、DMA、MMA 和 AsC 在较快的推送速度下无法分开时,降低流动相 A 的浓度或推送速度,能很好地分开这四个峰,但同时也增加了分析时间。实际测试结果中,当流动相 A 洗脱时间为 22 s 时,可以使 DMA、AsC、MMA、As(V) 与 As(Ⅲ) 分离完全并使分析时间最少。从 23 s 到 51 s,流动相 A 和流动相 B 的比例增加会使 DMA、AsC 和 MMA 分离度增加,当流动相 A 和流动相 B 的比例为 5.5 : 4.5 时,DMA、AsC 和 MMA 三个峰会完全分离。流动相梯度见表 2。

表 2 流动相的洗脱梯度

Table 2 Elution gradient of mobile phase

Time/s	Mobile phase A/%	Mobile phase B/%
0—22	100	0
23—51	55	45
52—100	0	100

### 2.3 标准曲线和方法检出限

prepFAST IC 自动稀释 100 μg/L 的砷形态混合标准溶液 100、20、10、5、2 和 1 倍,分别得到 1、5、10、20、50 和 100 μg/L 的标准系列,按照优化后条件进行测定,以峰面积与其对应的质量浓度进行线性回归绘制标准曲线。结果表明,相关系数均 > 0.9995,如表 3 所示。以信噪比 S/N=3 时对应的被测化合物质量浓度定义为检出限(LOD),AsB、MMA 和 AsV 的检出限为 0.02 μg/L,As(Ⅲ)、DMA 和 AsC 的检出限为 0.03 μg/L。5 μg/L 六种砷形态色谱图见图 1。

表 3 六种砷形态的线性关系及检出限

Table 3 Linearity and detection limits of the six arsenic species

Compounds	Standard curve linear equation	Correlation coefficient ( <i>r</i> )	Detection limit/(μg·L <sup>-1</sup> )
AsB	$y=15133x+3565$	0.999 9	0.02
As(Ⅲ)	$y=25147x+8874$	0.999 9	0.03
DMA	$y=29130x+11400$	0.999 9	0.03
AsC	$y=29131x+11439$	0.999 9	0.03
MMA	$y=29130x+11410$	0.999 9	0.02
As(V)	$y=29130x+11396$	0.999 9	0.02

### 2.4 方法的加标回收实验

考察不同浓度水平下 AsB、As(Ⅲ)、DMA、AsC、

MMA 和 As(V) 混合标准溶液加标精密度及回收率,分别在纯水和末梢水里面加入 5、40 和 80 μg/L 三个浓度水平的混合标准溶液,并平行制备 6 个样品,分别测定六种砷形态的含量,计算方法的加标回收率及相对标准偏差(RSD)。末梢水本底、末梢水加标 5、40 和 80 μg/L 六种砷形态色谱图见图 2。纯水低、中、高 3 个加标水平下六种砷形态的回收率为 95.8%~103%,RSD 为 0.90%~2.0%;末梢水低、中、高 3 个加标水平下六种砷形态的回收率为 89.2%~99.0%,RSD 为 0.70%~2.9%,见表 4。

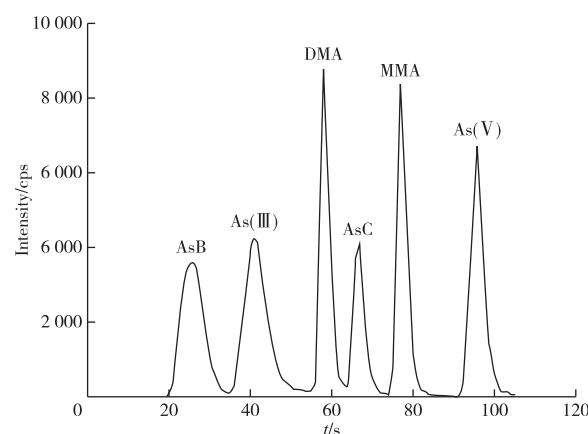


图 1 六种砷形态色谱图(5 μg/L)

Figure 1 Chromatograms of six arsenic species (5 μg/L).

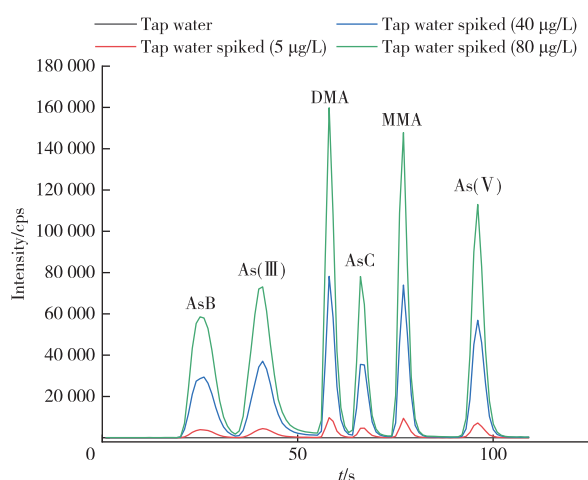


图 2 末梢水及末梢水加标样品(5、40 和 80 μg/L)中六种砷形态色谱图

Figure 2 Chromatograms of six arsenic species in tap water and tap water spiked samples (5, 40 and 80 μg/L).

表 4 纯水和末梢水中六种砷形态加标回收率和相对标准偏差

Table 4 Spiked recoveries and relative standard deviations for six species in pure water and tap water ( $n=6$ )

Samples	Compounds	Background/(\mu g · L^{-1})	Spiked amount/(\mu g · L^{-1})	Measured value/(\mu g · L^{-1})	Recoveries/%	RSD/%
Pure water	AsB	-	5	4.83—5.06	96.6—101	1.7
		-	40	39.3—40.3	98.2—101	1.1
		-	80	77.5—80.2	96.6—101	1.5
	As(Ⅲ)	-	5	4.97—5.01	97.8—100	0.90
		-	40	40.0—40.7	100—103	1.2
		-	80	78.1—81.9	97.8—102	1.8
	DMA	-	5	4.79—5.01	95.8—101	1.5
		-	40	39.6—41.2	99.1—103	1.4
		-	80	77.0—81.5	96.2—102	2.0
	AsC	-	5	4.79—5.01	95.8—101	1.5
		-	40	39.7—41.3	99.1—103	1.6
		-	80	77.0—81.5	96.2—102	1.9
Tap water	MMA	-	5	4.79—5.01	95.8—100	1.5
		-	40	39.8—41.3	99.5—103	1.4
		-	80	77.0—81.5	96.2—102	2.0
	As(V)	-	5	4.79—5.01	95.8—101	1.5
		-	40	39.6—41.2	99.1—103	1.4
		-	80	75.9—79.9	94.5—99.9	1.8
	AsB	-	5	4.46—4.74	89.2—94.8	2.9
		-	40	37.0—39.6	92.5—99.0	2.9
		-	80	75.4—79.2	94.3—99.0	2.1
	As(Ⅲ)	-	5	4.57—4.72	90.3—94.4	1.4
		-	40	38.5—39.3	96.3—98.3	0.70
		-	80	75.7—77.5	94.6—96.8	0.90
	DMA	-	5	4.53—4.69	90.7—93.7	1.2
		-	40	38.5—39.4	96.2—98.4	0.80
		-	80	76.3—78.1	95.3—98.3	1.1
	AsC	-	5	4.53—4.69	90.7—93.7	1.2
		-	40	38.5—39.4	96.2—98.4	0.80
		-	80	76.8—78.6	95.9—98.3	0.91
	MMA	-	5	4.53—4.69	90.7—93.7	1.2
		-	40	38.5—39.3	96.2—98.2	0.82
		-	80	77.2—78.6	96.5—98.3	0.91
	As(V)	-	5	4.53—4.69	90.7—93.8	1.2
		-	40	38.5—39.4	96.2—98.5	0.80
		-	80	76.8—78.6	95.9—98.3	0.90

## 2.5 方法的重现性

对实际样品加标制备的模拟样品进行测定,以方法精密度考察方法重现性。在纯水和末梢水中分别加入低、中、高 3 个浓度水平的混合标准溶液,制备模拟样品,测定其砷形态的含量。结果显示,六种砷形态的 RSD( $n=6$ )均小于 5.0%。

## 2.6 实际样品的测定

采用所建立的方法测定末梢水和包装饮用水各 10 个样品,末梢水和包装饮用水中 AsB、As(Ⅲ)、DMA、AsC、MMA 和 As(V) 均未检出。

## 2.7 方法对比

与国际期刊上最近两年的文章对比,本方法的便捷性、分析速度具有优势。QUARLES 等<sup>[25]</sup>2020 年

报道在 5 min 内完成尿中六种砷形态的分离,随后 WEGWERTH 等<sup>[26]</sup>2021 年报道了使用 IC-ICP-MS 方法在 120 s 内分离尿中六种砷形态,LANGASCO 等<sup>[27]</sup>2022 年使用 IC-ICP-MS 在 10 min 内分离大米中 4 种砷形态。本文采用多功能集成色谱搭载 ICX-As 35 为分析色谱柱,以碳酸铵为流动相,能在 105 s 内实现生活饮用水中六种砷形态的分离和准确定量,分离速度快于国际上已有报道,但是分离的是基质较为简单的样品,下一步将重点研究复杂基质中的砷形态。

## 3 结论

本研究建立了多功能集成色谱与电感耦合等离

子体质谱联用技术用于生活饮用水中砷形态分析的方法,以碳酸铵为洗脱液,通过对洗脱液浓度、pH 值等参数的优化,可在 105 s 内实现生活饮用水中六种砷形态的分离和准确定量,操作简便,不同浓度水平的加标回收率为 89.2%~103%,相对标准偏差均小于 5.0%。该方法具有灵敏度高、准确可靠、分析效率高等优点,适用于生活饮用水中砷形态的快速测定。

### 参考文献

- [1] THOMS D J, BRADHAM K R. Role of complex organic arsenicals in food in aggregate exposure to arsenic[J]. Journal of Environmental Sciences, 2016, 49:86-96.
- [2] JIA Y Y, WANG L, MA L, et al. Speciation analysis of six arsenic species in marketed shellfish: extraction optimization and health risk assessment[J]. Food Chemistry, 2018, 244:311-316.
- [3] UPPAL J S, ZHENG Q, LE X C. Arsenic in drinking water: recent examples and updates from Southeast Asia[J]. Current Opinion in Environmental Science & Health, 2019. DOI:10.1016/j.coesh.2019.01.004.
- [4] CARLIN D J, NAUJOKAS M F, BRADHAM K D, et al. Arsenic and environmental health: state of the science and future research opportunities[J]. Environmental Health Perspectives, 2016, 124(7):890-899.
- [5] CHEN C J, CHEN C W, WU M M, et al. Cancer potential in liver, lung, bladder and kidney due to ingested inorganic arsenic in drinking water[J]. British Journal of Cancer, 1992, 66(5):888-892.
- [6] SMITHA H, GOYCOLEA M, HAQUE R, et al. Marked increase in bladder and lung cancer mortality in a region of Northern Chile due to arsenic in drinking water[J]. American Journal of Epidemiology, 1998, 147(7):660-669.
- [7] HECK J E, ANDREW A S, ONEGA T, et al. Lung cancer in a U. S. population with low to moderate arsenic exposure[J]. Environmental Health Perspectives, 2009, 117(11):1718-1723.
- [8] HUGHES M F, BECKB D, CHEN Y, et al. Arsenic exposure and toxicology: a historical perspective[J]. Toxicological Sciences, 2011, 123(2):305-332.
- [9] COHEN S M, CHOWDHURY A, ARNOLD L L. Inorganic arsenic: a non-genotoxic carcinogen [J]. Journal of Environmental Sciences, 2016, 49:28-37.
- [10] GRAU-PEREZ M, KUO C C, GRIBBLE M O, et al. Association of low-moderate arsenic exposure and arsenic metabolism with incident diabetes and insulin resistance in the strong heart family study[J]. Environmental Health Perspectives, 2017, 125 (12): 127004. DOI:10.1289/EHP2566.
- [11] SHARMA V K, SOHN M. Aquatic arsenic: toxicity, speciation, transformations, and remediation[J]. Environment International, 2009, 35(34):743-759.
- [12] TAYLOR V, GOODALE B, RAAB A, et al. Human exposure to organic arsenic species from seafood[J]. Science of the Total Environment, 2017, 580:266-282.
- [13] 赵芊瑜,熊海燕,叶紫君,等.小鼠体内砷甜菜碱向无机砷的生物降解[J].生态毒理学报,2023, 18 (3): 326-335.
- ZHAO Qianyu, XIONG Haiyan, YE Zijun, et al. Biodegradation of arsenobetaine into inorganic arsenic in mice[J]. Asian Journal of Ecotoxicology, 2023, 18(3): 326-335.
- [14] YU H M, DU H, WU L, et al. Trace arsenic speciation analysis of bones by high performance liquid chromatography inductively coupled plasma mass spectrometry[J]. Microchemical Journal, 2018, 141: 176-180.
- [15] CUBADDA F, JACKSON B P, COTTINGHAM K L, et al. Human exposure to dietary inorganic arsenic and other arsenic species: State of knowledge, gaps and uncertainties[J]. Science of the Total Environment, 2017, 579:1228-1239.
- [16] GONG Z, LU X, MA M, et al. Arsenic speciation analysis[J]. Talanta, 2002, 58:77-96.
- [17] SADEE B, FOULKES M E, HILL S J. Coupled techniques for arsenic speciation in food and drinking water: a review [J]. Journal of Analytical Atomic Spectrometry, 2015, 30:102-118.
- [18] 国家市场监督管理总局,国家标准化管理委员会.生活饮用水标准检验方法:GB/T 5750.6—2023[S].北京:中国标准出版社,2023.  
State Administration for Market Regulation of China, National Standardization Administration. Standard examination methods for drinking water: GB/T 5750.6—2023[S]. Beijing: China Standards Press, 2023.
- [19] 刘洋,陈绍占,刘丽萍,等.高效液相色谱-电感耦合等离子体质谱法分析尿中 6 种砷形态[J].分析测试学报,2023,42(2):227-232.  
LIU Yang, CHEN Shaozhan, LIU Liping, et al. Analysis of six arsenic speciations in urine by high performance liquid chromatography-inductively coupled plasma mass spectrometry[J]. Journal of Instrumental Analysis, 2023, 42(2):227-232.

- [20] 陈灿,黄飞,李士永,等.超声辅助提取-高效液相色谱-电感耦合等离子体质谱法测定虾姑中无机砷的研究[J].中国卫生检验杂志,2023,33(8):918-921.  
CHEN Can, HUANG Fei, LI Shiyong, et al. Determination of inorganic arsenic in mantis shrimp by ultrasound assisted extraction-high performance liquid chromatography-inductively coupled plasma mass spectrometry [J]. Chinese Journal of Health Laboratory Technology, 2023, 33(8): 918-921.
- [21] 张义丞,陈双,刘莹,等.液相色谱-电感耦合等离子体质谱法测定海产品中砷含量的不确定度评定[J].食品安全导刊,2015,18(6):148-151.  
ZHANG Yicheng, CHEN Shuang, LIU Ying, et al. Uncertainty assessment for the determination of arsenic in seafood by liquid chromatography-inductively coupled plasma mass spectrometry [J]. China Food Safety Magazine, 2015, 18(6): 148-151.
- [22] 刘洋,刘丽萍,陈绍占.液相色谱-原子荧光光谱法测定食用菌中的砷形态[J].中国无机分析化学,2021,11(6):119-125.  
LIU Yang, LIU Liping, CHEN Shaozhan. Analysis of arsenic speciation in edible mushroom by liquid chromatography-atomic fluorescence spectrometry[J]. Chinese Journal of Inorganic Analytical Chemistry, 2021, 11(6): 119-125.
- [23] 谢海东,鲁海妍,张炜.电感耦合等离子体发射光谱法测定藏药原材料中的砷汞[J].中国无机分析化学,2023,13(1):38-43.  
XIE Haidong, LU Haiyan, ZHANG Wei. Determination of arsenic and mercury in Tibetan medicine by Inductively coupled plasma emission spectrometry [J]. Chinese Journal of Inorganic Analytical Chemistry, 2023, 13(1): 38-43.
- [24] REID M S, HOY K S, SCHOFIELD J R M, et al. Arsenic speciation analysis:a review with an emphasis on chromatographic separations [J]. Trac-Trends in Analytical Chemistry, 2020, 123, 115700. DOI: 10.1016/j.trac.2019.115770.
- [25] QUARLES C D, SULLIVAN P, BOHLM N, et al. Evaluation of blood and synthetic matrix-matched calibrations using manual and inline sample preparation methods[J]. Journal of Analytical Atomic Spectrometry, 2022, 37:1240-1246.
- [26] WEGWERTH P J, ERDAHL S A, WERMERS M L, et al. Rapid, and robust speciation of arsenic in urine by IC-ICP-MS[J]. Journal of Applied Laboratory Medicine, 2021, 6(4):846-857.
- [27] LANGASCO I, BARRACU F, DEROMA M A, et al. Assessment and validation of ICP-MS and IC-ICP-MS methods for the determination of total, extracted and speciated arsenic:application to samples from a soil-rice system at varying the irrigation method[J]. Journal of Environmental Management, 2022, 302, 114105. DOI: 10.1016/j.jenvman.2021.114105.